

## 正钛酸胶溶法制纳米 $\text{TiO}_2$ 薄膜及性能表征

张云\* 赵浪 尹光福\* 周大利 许秀娟

(四川大学材料科学与工程学院,成都 610064)

关键词: 二氧化钛膜 钛酸 溶胶-凝胶 光催化 甲基橙  
分类号: O614.41<sup>+1</sup>

### 0 引言

自从 1972 年 Fujishima 和 Honda 发表了关于氧化钛电极上光分解水的论文以来,  $\text{TiO}_2$  作为一种光催化剂越来越受到人们的广泛重视<sup>[1]</sup>。其应用性也不断得到认可, 近年来利用纳米  $\text{TiO}_2$  光催化降解有机污染物的研究非常活跃<sup>[2~5]</sup>。由于粉末状的纳米  $\text{TiO}_2$  颗粒细微, 在水溶液中易于凝聚, 不易沉降, 催化剂难以回收, 活性成分损失大, 不利于催化剂的再生和再利用, 因而将  $\text{TiO}_2$  光催化剂在一定载体上固定化既可以解决催化剂分离回收难的问题, 又能克服悬浮相催化剂稳定性差和容易中毒的缺点, 是使其广泛应用的有效途径。纳米  $\text{TiO}_2$  薄膜的制备既具有固定催化剂的优点, 又由于其尺寸细微具有纳米效应和高活性<sup>[6]</sup>, 而具有理论研究和实际应用价值。

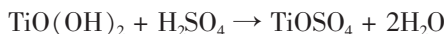
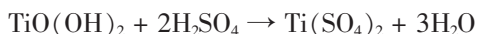
薄膜的制备方法很多, 有液相沉积法、溶胶-凝胶法、化学气相沉积法、热分解法、磁控溅射法等<sup>[3]</sup>。其中溶胶-凝胶法因具有合成温度低、对反应系统工艺条件要求低、产品成分均匀、纯度较高、易于涂膜、光催化活性高等优点, 在制备纳米  $\text{TiO}_2$  薄膜方面得到较多地采用。但目前大多数溶胶法均以钛醇盐为前驱体, 因而成本较高<sup>[4]</sup>, 难以广泛应用。本研究采用廉价的工业偏钛酸为原料, 制备正钛酸前驱体, 进而制备纳米二氧化钛溶胶和薄膜。对溶胶的性质、影响溶胶的因素以及薄膜的性质进行了表征。

### 1 实验部分

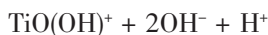
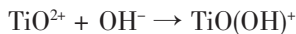
#### 1.1 正钛酸前驱体的制备

用 2%~5% 的稀盐酸及 5% 的氨水溶液洗涤去除工业偏钛酸中的杂质, 所得沉淀与浓硫酸在搅拌条件下加热至 95 ℃, 使其全部溶解后得到  $\text{TiOSO}_4$  溶液; 加入适量活性炭进一步除去杂质后过滤, 得清亮的  $\text{TiOSO}_4$  滤液; 再加入 0.1%~0.5% 的以十二烷基苯磺酸、乙烯醚为主要成份的自制新型表面活性剂, 搅匀后加 10% 的氨水调节 pH 值至 5~7, 水解得到正钛酸前驱体。整个制备过程可按以下反应进行:

(1) 工业偏钛酸与浓硫酸反应制备  $\text{TiOSO}_4$ :



(2)  $\text{TiOSO}_4$  水解沉淀制备正钛酸:



#### 1.2 $\text{TiO}_2$ 溶胶的制备及稳定性分析

将正钛酸前驱体加入蒸馏水按 0.1~0.3 mol·L<sup>-1</sup> 浓度配置, 用 10% 的稀硝酸调剂 pH 值后进行搅拌, 得到略带浅蓝色的半透明溶胶。溶胶稳定性可通过溶胶的保存时间和  $\zeta$  电位进行测定。

#### 1.3 纳米 $\text{TiO}_2$ 薄膜的制备

涂膜前, 基质先经过去油脂、超声清洗、干燥, 然后用浸渍法涂层。将涂层后湿膜在 80~100 ℃下干燥

收稿日期:2004-02-06。收修改稿日期:2004-04-30。

四川大学“SARS”预研基金资助项目(No.),教育部优秀青年教师基金资助项目(No.2002123)。

\* 通讯联系人。E-mail:cuzy@163.com; Tel:028-85410272; 028-85410138

第一作者:张云,男,35岁,副教授,在职博士生;研究方向:无机纳米材料的制备与应用。

5 min 后, 可重复浸渍提拉, 经多次涂覆可使薄膜具有一定厚度。然后将其在 450 ℃下煅烧 2 h, 即得到锐钛型纳米 TiO<sub>2</sub>涂层。

#### 1.4 结构及形貌分析

纳米 TiO<sub>2</sub> 薄膜的晶型用 DX-1000 衍射仪(XRD)检测, 薄膜表面的形貌通过扫描电镜(SEM)进行分析, 粒度大小采用日本 JEM-100CX 型 TEM 透射电镜。

#### 1.5 光催化实验

以甲基橙溶液为研究体系, 125 W 高压汞灯为光源, 由 721 型分光光度计在 463 nm 处测定了甲基橙的吸光值并计算其降解率, 体系温度为 20 ℃左右。

具体过程为: 将涂有 TiO<sub>2</sub> 薄膜的载玻片浸入甲基橙水溶液中, 液面距离汞灯 6 cm, 反应过程中溶液浓度变化采用 721 型紫外可见分光光度计测定。

## 2 结果与讨论

#### 2.1 影响溶胶制备及溶胶稳定性的因素

##### 2.1.1 pH 值对胶溶形成的影响

取稀释后的 TiOSO<sub>4</sub> 溶液, 搅拌下加入氨水调节 pH 值至得到白色正钛酸前驱体沉淀。将沉淀过滤后, 按 0.2 mol·L<sup>-1</sup> TiO<sub>2</sub> 加入蒸馏水, 用 10% 稀硝酸分别调剂 pH 值至表 1 中所需值后进行搅拌。表 1 中的实验数据表明: 只有当 pH 值在 0.5~1.5 之间时才能形成稳定的溶胶; 当 pH>2.5 时, 即使搅拌 24 h 以上, 也不能形成溶胶; pH 值在 1.5~2.5 之间时, 经长时间搅拌后也只能部分形成溶胶; 当 pH 值在 0.5

以下时只能得到溶液, 而不能得到溶胶。

即存在以下胶溶反应(表 2)。

pH<0.5 时的反应分两步进行, 当搅拌 10 多分钟后溶液有微微的蓝色出现, 同时出现胶状的半透明现象, 即说明反应(2)存在; 但随着反应的进行, 蓝色不仅未加深, 反而逐渐消失, 溶液逐渐变为无色透明。

因此, 加酸控制 pH 值大小对溶胶形成影响很大, 通过试验确定加稀硝酸调节 pH 值至 1.0~1.5 所得的溶胶稳定性最好。加酸主要是使 TiO(OH)<sub>2</sub> 质子化, 使胶粒带正电, 阻止凝聚, 并且抑制水解, 使 H<sub>2</sub>O → H<sup>+</sup>+OH<sup>-</sup> 反应逆向。

##### 2.1.2 HNO<sub>3</sub> 浓度对溶胶稳定性的影响

实验分别考察了硝酸浓度对溶胶稳定性的影响, 实验结果如表 3 所示。

从表中数据可知, 分别用 5%、10% 的稀 HNO<sub>3</sub> 和 60% 的浓 HNO<sub>3</sub> 作为胶溶剂进行胶溶反应时有很大的差异。用 60% 的浓硝酸进行反应时, 溶胶的形成速度较快, 1~2 h 内即可形成, 但溶胶稳定性差, 15 天后溶胶出现浑浊, 30 天后有分层现象, 3 个月后出现沉淀; 而用 10% 稀硝酸进行胶溶反应时, 溶胶形成速度缓慢, 但溶胶稳定性好, 90 天后仍未出现任何浑浊、分层等现象; 当使用 5% 的稀硝酸进行胶溶反应时得到的溶胶, 放置 10 个月以后仍保持很好的稳定性。

图 1 中溶胶的  $\zeta$  电位也表明, 不同硝酸浓度下所得到的溶胶具有不同的  $\zeta$  电位值。当用 5% 的稀硝酸进行胶溶时所得溶胶的平均  $\zeta$  电位值最大, 为

表 1 pH 对溶胶形成的影响

Table 1 Effect of pH on of Sol Formation

pH	3.5~2.5	2.5~1.5	1.5~0.5	< 0.5
agitation time / h	> 24	24	1~2	1
results	no sol formation	partial sol formation	stable sol	only solution

表 2 溶胶形成过程中的化学反应

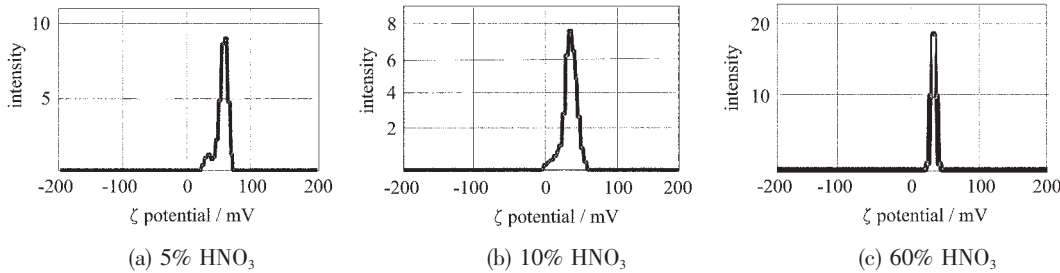
Table 2 Chemical Reactions Involved during the Sol Formation

pH	sol chemical reactions	results
pH>2.5	TiO(OH) <sub>2</sub> ↓ + H <sup>+</sup> → TiO(OH) <sup>+</sup> ·H <sub>2</sub> O <sub>n</sub>	(1) no sol formation
pH=1.5~2.5	TiO(OH) <sub>2</sub> ↓ + H <sup>+</sup> → TiO(OH) <sup>+</sup> ·H <sub>2</sub> O <sub>n</sub>	(2) some blue and translucent sol
pH=0.5~1.5	TiO(OH) <sub>2</sub> ↓ + H <sup>+</sup> → TiO(OH) <sup>+</sup> ·H <sub>2</sub> O <sub>n</sub>	(2) blue and translucent sol
pH<0.5	(1) TiO(OH) <sub>2</sub> ↓ + H <sup>+</sup> → TiO(OH) <sup>+</sup> ·H <sub>2</sub> O <sub>n</sub> (2) TiO(OH) <sub>2</sub> ↓ + 2H <sup>+</sup> → TiO <sup>2+</sup> + 2H <sub>2</sub> O	(2) blue and translucent sol (3) colorless solution (4) colorless solution

表3 硝酸浓度对溶胶稳定性的影响

Table 3 Effect of HNO<sub>3</sub> Concentration on Formation Time and Stability of Sol

concentration of HNO <sub>3</sub> / %	formation time of sol / h	stability of sol			
		15 days	30 days	90 days	10 months
5	> 20	stable	stable	stable	stable
10	4~10	stable	stable	stable	turbid
60	< 2	turbid	delaminating	precipitation	precipitation

图1 溶胶  $\zeta$  值与硝酸浓度的关系Fig.1 Relation between the concentration of HNO<sub>3</sub> and  $\zeta$  value of sol

48.2 mV；而用 10% 的稀硝酸进行胶溶时所得溶胶的平均  $\zeta$  电位值为 41.2 mV，说明溶胶很稳定，当用 60% 的浓硝酸进行胶溶时所得溶胶的平均  $\zeta$  电位值仅为 31.2 mV，溶胶处于介稳状态，极易发生聚沉。这与表 3 中的结果完全一致。

### 2.1.3 正钛酸溶胶法与钛醇盐等传统溶胶制备法的比较

正钛酸法制备溶胶与传统的溶胶制备方法有者本质的区别：传统的溶胶制备方法，无论是醇盐法还是硅溶胶法均是从溶液中直接形成溶胶，制备过程中存在着晶核的形成与长大过程；而本方法是以正钛酸颗粒为前驱体通过胶溶反应生成溶胶，其主要过程包括颗粒的分散、部分溶解和水合胶联等过程。因此两种方法制备的溶胶的性质也有很大不同，传统法制备的溶胶的性能主要体现在加水量、酸浓度、pH 值等对溶胶的凝胶化过程有较大的影响，而本方法中对溶胶性能的影响主要体现在：当 pH 值过高或过低时均不能形成溶胶；当胶溶反应过程中硝酸浓度过高时形成的溶胶稳定性差，容易分层、沉淀，而且得到的颗粒较大。这主要是由于使用浓硝酸进行胶溶反应时，反应： $TiO(OH)_2$ (沉淀) $+H^+ \rightarrow TiO(OH)^+ \cdot H_2O_n$  的速度较快，形成的胶粒  $TiO(OH)^+ \cdot H_2O_n$  中  $n$  值较小，胶联度低；同时由于反应速度太快，颗粒间分散性不好，有  $\{TiO(OH)^+\}_n \cdot H_2O_n$  大颗粒生成。而且水解反应是一个放热反应，温度过高就会造成一些纳米粒子的团聚，破坏生成沉淀粒子的表面结构，使

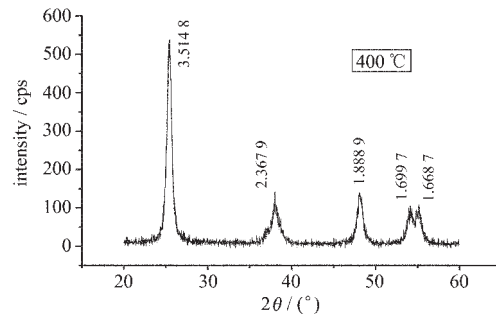
其不能吸附  $H^+$  形成溶胶。

而当用稀硝酸进行胶溶反应时，由于反应进行缓慢，颗粒分散性好，因而形成的胶粒  $TiO(OH)^+ \cdot H_2O_n$  中  $n$  值较大，胶联度高，溶胶更稳定。

## 2.2 溶胶制备薄膜的晶型、形貌与粒径表征

### 2.2.1 薄膜的 XRD 分析

溶胶和薄膜中的无定型二氧化钛在 300 °C 以上时逐渐向锐钛矿型转变，在 800 °C 以上时向金红石型转变。其中锐钛矿型纳米 TiO<sub>2</sub> 因具有较高的光催化活性而有着广泛的应用<sup>[7,8]</sup>。图 2 是 TiO<sub>2</sub> 薄膜在 400 °C 热处理 2 h 后的 X-射线衍射(XRD)谱图。经与 TiO<sub>2</sub> 标准 XRD 谱图对照后可知，经处理后的 TiO<sub>2</sub> 的晶型是锐钛矿型。根据 X 射线衍射宽化法，采用谢乐公式<sup>[5]</sup>  $L = k\lambda/\beta\cos\theta$  可计算得粒子的一次粒径为 18.5 nm。

图2 TiO<sub>2</sub> 薄膜的 X-射线衍射分析Fig.2 XRD of TiO<sub>2</sub> film

### 2.2.2 扫描电镜(SEM)及透射电镜(TEM)分析

通过扫描电镜可观测到  $\text{TiO}_2$  薄膜表面的形貌, 如图 3 所示, 涂于载玻片上的  $\text{TiO}_2$  薄膜的表面是一种起伏不平的颗粒膜, 组成薄膜的氧化钛颗粒粒径在纳米尺度, 颗粒粒径比较均匀, 薄膜具有紧密的结构,  $\text{TiO}_2$  薄膜表面粗糙不平, 极大地提高了薄膜的有效表面积, 不但增大反应物在薄膜表面的吸附量, 而且光线在这样的表面可以经过多重反射, 光吸收及利用率也能得到提高, 有利于催化反应的进行。



图 3  $\text{TiO}_2$  薄膜的扫描电镜图像

Fig.3 SEM imagines of  $\text{TiO}_2$  flim

为进一步考察溶胶中颗粒的粒径, 将 5%  $\text{HNO}_3$  作为胶溶剂时所制备的溶胶通过透射电镜进行粒度分析(图 4)。从图中可以看出颗粒主要为球形, 大小均匀, 粒径在 20 nm 左右。



图 4  $\text{TiO}_2$  溶胶颗粒的 TEM 图片

Fig.4 TEM imagine of  $\text{TiO}_2$  sol

## 2.3 薄膜的光催化活性表征

### 2.3.1 甲基橙溶液吸光度与浓度的关系

通过 721 分光光度计测定了在不同波长处 20  $\text{mg}\cdot\text{L}^{-1}$  甲基橙溶液的吸光值, 结果显示甲基橙溶液最强吸收峰位于波长 463 nm 处。为找到其吸光度与浓度对应关系, 测定了不同浓度甲基橙溶液在 463 nm 处的吸光值, 如图 5 所示, 在波长 463 nm 处, 甲基橙溶液吸光度与浓度有良好线性关系( $R=0.9994$ ), 可用下式表示:  $A=0.03547C+0.01517$ 。

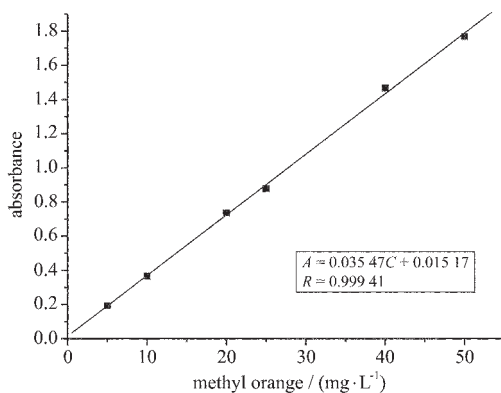


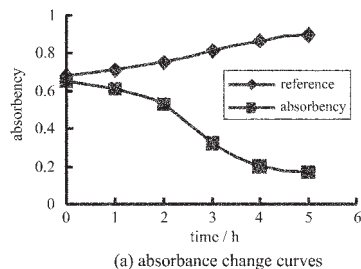
图 5 甲基橙溶液的标准曲线

Fig.5 Criterion curve for methyl orange

据此可由测得的光催化反应后甲基橙溶液的吸光度推算出溶液浓度。根据浓度计算降解率:  $d=(C_0-C)/C_0 \cdot 100\%$ , 由此判断和比较光催化剂活性。

### 2.3.2 $\text{TiO}_2$ 薄膜光降解甲基橙溶液的动力学

纳米  $\text{TiO}_2$  薄膜光催化降解甲基橙主要是利用组成薄膜的  $\text{TiO}_2$  晶粒的光催化性, 当它受到波长小于 387.5 nm 的光照射时, 禁带上的电子跃迁到价带上, 从而产生电子( $e^-$ )~空穴( $h^+$ )对。 $h^+$ 是强的氧化剂, 吸附在二氧化钛表面的  $\text{OH}^-$  和  $\text{H}_2\text{O}$  将被它氧化成羟基自由基  $\text{OH}\cdot$ , 自由基  $\text{OH}\cdot$  为强氧化剂, 将氧化存在它周围的有机物, 使其光催化降解成  $\text{CO}_2$ 、 $\text{H}_2\text{O}$  等简单物质<sup>[6]</sup>。纳米  $\text{TiO}_2$  薄膜光催化降解过程中, 甲基橙溶液浓度变化除与光降解相关外, 还受到其他一些因素的影响, 如载体对甲基橙的吸附作用、溶剂



(a) absorbance change curves

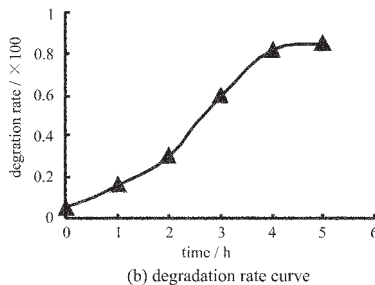


图 6 甲基橙的降解速率

Fig.6 Photo-degradation rate of methyl orange

的挥发,以及紫外线对甲基橙本身的降解等等。因此我们采用与空白样(未涂覆 TiO<sub>2</sub> 的载体)对照,来扣除空白的影响。

图 6 是 TiO<sub>2</sub> 薄膜对初始浓度为 20 mg·L<sup>-1</sup> 甲基橙的光催化降解速率曲线,图 6a 分别是甲基橙空白参照样的吸光值随时间的变化、扣除空白后纳米 TiO<sub>2</sub> 薄膜降解甲基橙溶液的吸光值随时间变化的曲线。图 6b 为光催化降解率随时间变化的曲线。从图中可以看到,空白样的吸光值增大了,这是由于虽然存在着吸附作用以及紫外线对甲基橙的分解作用,但溶剂挥发对浓度的影响远远大于这些作用的影响,因此吸光值增加,甲基橙溶液浓度增高了;扣除空白的影响后可算出薄膜对甲基橙的光降解率,从降解率曲线可知在 5 h 后甲基橙降解率达 84% 以上,说明该法制备的 TiO<sub>2</sub> 薄膜具有很强的降解有机物的能力。

### 3 结 论

采用工业钛液制得的正钛酸前驱体为原料,通过胶溶法可制备纳米 TiO<sub>2</sub> 薄膜;

在溶胶的制备过程中,pH 值以及硝酸浓度对溶胶的形成及其稳定性有很大的影响,溶胶形成的热力学条件为 pH=0.5~1.5;而且硝酸的浓度越小,溶

胶的稳定性越好,当用 5% 的稀硝酸作胶溶剂时,所得溶胶的  $\zeta$  电位达 48 mV 以上,溶胶放置 10 个月后仍很稳定。

XRD 分析表明,溶胶制备的薄膜在 450 ℃下煅烧后得到了结晶完好的锐钛型纳米 TiO<sub>2</sub> 薄膜,一次粒径为 18.5 nm;经 SEM 扫描电镜和 TEM 透射电镜观测到,纳米 TiO<sub>2</sub> 薄膜结构紧密、颗粒粒径均匀。

对甲基橙溶液的光催化降解反应表明,5 h 内 TiO<sub>2</sub> 薄膜对 20 mg·L<sup>-1</sup> 甲基橙的降解率达 84% 以上,因而具有很好的光催化活性。

### 参 考 文 献

- [1] Fujishima A., Honda A. *Nature*, **1972**,**238**,37.
- [2] Ulrike Diebold. *Surface Science Reports*, **2003**,**48**,53.
- [3] Mardare D., Tasca M., Delibas M. et al. *Applied Surface Science*, **2000**,**156**,200.
- [4] Linsebigter A. L., Lu Grangqun, Yates J. T. *Chem. Rev.*, **1995**,**95**,735.
- [5] Femandz A., Lassalecta G., Jimenez V. M. et al. *Appl. Catal. B: Environ.*, **1995**,**7**,49.
- [6] Yoko T. et al. *J. Non-Cryst Solids*, **1988**,**100**,483.
- [7] Bickley L. B., Gonzalez-Carreno T., Lee J. S. et al. *J. Solid. State. Chem.*, **1991**,**92**,178.
- [8] Tanaka K., Capule M. F. V., Hisanaga T. *Chem. Phys. Lett.*, **1991**,**187**(1~2),73.

## Preparation and Characterization of Nanometer TiO<sub>2</sub> Film by Sol Method from H<sub>3</sub>TiO<sub>4</sub>

ZHANG Yun\* ZHAO Lang YIN Guang-Fu\* ZHOU Da-Li XU Xiu-Juan

(College of Materials Science and Engineering, Sichuan University, Chengdu 610064)

The Nanometer TiO<sub>2</sub> thin film was prepared by sol method with titanic acid precursor from industrial TiOSO<sub>4</sub> solution. The characters of the sol and the factors affecting sol formation were investigated by  $\zeta$  electricity potential. The crystalline structure, particle size, appearance shape and photo-catalytic activity were characterized by XRD, SEM, TEM and spectrophotometer. The study show: (1) pH value and HNO<sub>3</sub> concentration effected importantly on the forming process and stability of the sol. The thermodynamic condition for forming sol is pH=0.5~1.5. The lower the HNO<sub>3</sub> concentration, the more stable the sol. The  $\zeta$  electricity potential of the sol, with 5% HNO<sub>3</sub> as gluing reagent, was up to 48 mV, and shelf life of the sol could more than 10 months. (2) The film, made from the sol and crystallized at 400 ℃, had the characters of anatase structure and crystal size of 18.5 nm by XRD analysis. The SEM imagines show that TiO<sub>2</sub> film was with the characteristics of tight surface structure, The TEM imagine showed the mean particle size is about 20 nm. The photo-degrading test data indicate that the photo-degrading rate to methyl orange solution of 20 mg·L<sup>-1</sup> was more than 84% in 5 hours.

**Keywords:**

TiO<sub>2</sub> film

sol-gel

photo-catalysis

methyl orange